

01.1;06.1;13.2

Полевая эмиссия в нанотрубке длиной в несколько нанометров

© Н.Р. Садыков, Р.С. Храбров, И.А. Пилипенко

Снежинский физико-технический институт Национального исследовательского ядерного университета „МИФИ“, Снежинск, Челябинская обл., Россия
E-mail: n.r.sadykov@rambler.ru

Поступило в Редакцию 6 апреля 2022 г.
В окончательной редакции 23 мая 2022 г.
Принято к публикации 2 июля 2022 г.

Рассмотрена задача полевой эмиссии в углеродной нанотрубке, длина которой изменялась от нескольких нанометров до десятков нанометров. Получена функция прохождения частиц в предположении, что разность потенциалов на концах нанотрубок равна $U = 2-3.5$ В. На основе полученной функции прохождения частиц вычислен эмиссионный ток. Установлена зависимость функции Нордгейма от длины наночастиц. Рассмотрен предельный переход для коэффициента пропускания автоэмиссии с поверхности катода при отсутствии на ней наночастиц. Установлена линейная зависимость огибающих тока I от напряженности поля W .

Ключевые слова: полевая эмиссия, нанотрубки, функции Нордгейма.

DOI: 10.21883/PJTF.2022.16.53205.19216

В случае полевой эмиссии требуются большие значения напряженности электрического поля (порядка $E = 10^9-10^{10}$ В/м), что приводит к возникновению сильных механических напряжений. Поэтому в случае полевой эмиссии материал иглы должен быть механически прочным, чтобы оставаться неповрежденным. В качестве таких механически прочных материалов можно рассматривать удлиненные карбины [1–4], двумерные структуры: нанотрубки и наноленты [5–7], где поперечные размеры вытянутых карбинов могут быть на три-четыре порядка меньше продольных. Это приводит к малым значениям фактора деполяризации вдоль наночастиц (к высокому аспектному отношению — отношению длины L к диаметру нанотрубки $2R$), что в свою очередь ведет к тому, что электрическое поле вблизи наконечника углеродных нанотрубок (УНТ) в $\beta \approx L/(2R)$ раз превышает среднее значение поля [8]. При исследовании полевой эмиссии используются пучки однослойных УНТ [9,10]. Современные теории полевой электронной эмиссии берут свое начало в работе Фаулера и Нордгейма (FN) 1928 г. [11,12]. Сегодня теория FN описывается целым семейством различных форм уравнений Фаулера–Нордгейма [13].

В настоящей работе исходя из функции прохождения электронов, полученной на основе теоретических результатов и результатов численных расчетов, рассчитана величина тока через уединенную УНТ с металлическим типом проводимости (соответствует случаю неплотно упакованных УНТ). Установлена линейная зависимость тока I от напряженности поля W , а также линейная зависимость огибающих функции I/W^2 от обратного значения напряженности поля $1/W$.

Чтобы определить ток при полевой эмиссии с острия наночастиц, базируясь на формуле Ландауэра, необходимо знать функции прохождения частицы от анода к катоду. Функция прохождения получена на основе теорети-

ческих результатов (рис. 1, *a*) и результатов численных расчетов (рис. 1, *b*) в предположении, что нанотрубка длиной L_1 находится на поверхности металлического катода с уровнем Ферми $U = U_1 = E_F$ (более подробно см. [14]). В расчетах, приведенных на рис. 1, сплошные кривые соответствуют УНТ длиной $L_1 = 3.5$ (1), 3.0 (2), 2.5 (3), 2.0 нм (4) при напряженности поля $W = 10^9$ В/м; штриховые кривые отвечают УНТ длиной $L_1 = 7$ (5), 6 (6), 5 (7), 4 нм (8) при напряженности поля $W = 0.5 \cdot 10^9$ В/м; пунктирные кривые соответствуют УНТ длиной $L_1 = 14$ (9), 12 (10), 10 (11), 8 нм (12) при напряженности поля $W = 0.25 \cdot 10^9$ В/м (напряжения на концах нанотрубок равнялись $U = WL_1 = 3.5, 3.0, 2.5, 2.0$ В). При изменении длины нанотрубок в интервале $2 \leq L_1 \leq 14$ нм аспектное число в случае нанотрубок ($m, 0$) типа „зигзаг“, где $m = 7$, будет лежать в интервале $3.65 \leq \beta \leq 25.5$. Пренебрегая наличием сил зеркального изображения, предположим, что потенциальная энергия $U(z)$ при наличии электрического поля $W \neq 0$ в области $z \geq L_1$ будет иметь вид $U_{ext} = -|e|Wz$, а внутри нанотрубки ($0 \leq z \leq L_1$) потенциальную энергию (внутри мелкой потенциальной ямы) аппроксимируем прямоугольной формой (более подробно см. [14])

$$U(z) = \begin{cases} U_1, & z < 0, \\ U_{2a}, & 0 \leq z \leq L_1, \\ -|e|Wz, & z > L_1. \end{cases} \quad (1)$$

В расчетах полагалось, что $U_1 = -4$ эВ, $U_2 = -6.4$ эВ. Исходя из потенциала (1) запишем решение уравнения Шредингера

$$\psi(z) = \begin{cases} A_1 e^{ik_1 z} + B_1 e^{-ik_1 z}, & z < 0, \\ A_2 e^{ik_2 z} + B_2 e^{-ik_2 z}, & 0 \leq z \leq L_1, \\ C\chi(z), & z \geq L_1, \end{cases} \quad (2)$$

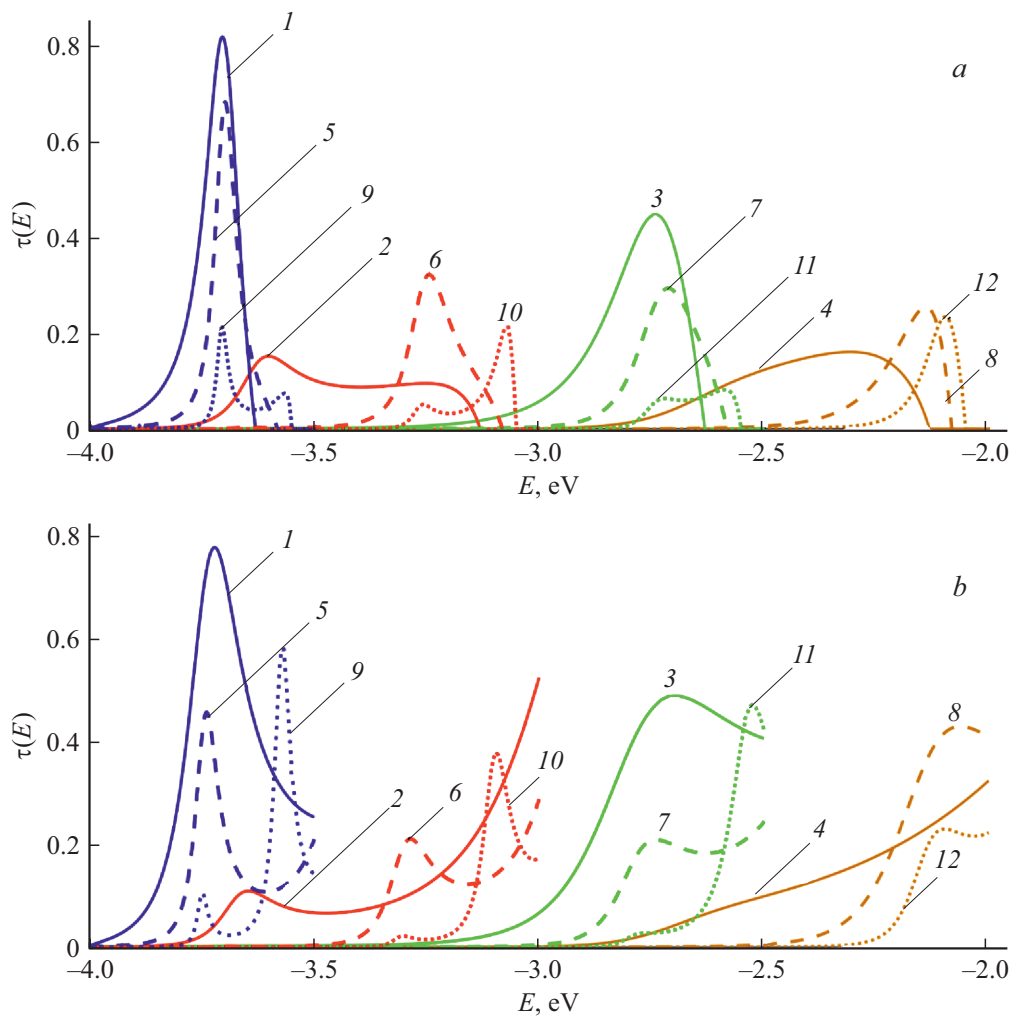


Рис. 1. Зависимость функции прохождения от энергии электронов E .

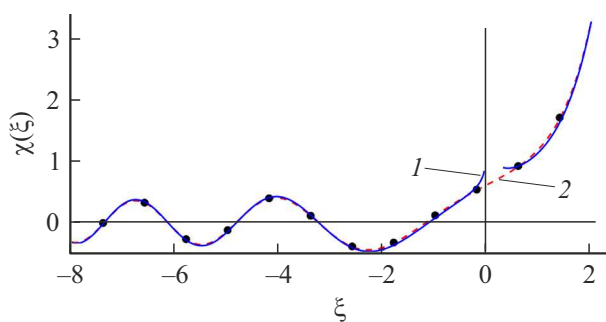


Рис. 2. Зависимость функции Эйри χ от переменной ξ .

где $k_1 = \sqrt{2m|E - U_1|}/\hbar$, $k_2 = \sqrt{2m|E - U_{2a}|}/\hbar$. Функция Эйри $\chi(z)$ является решением уравнения $\partial^2 \psi / \partial \xi^2 - \xi \psi = 0$, где $\xi = (2m|e|W/\hbar^2)^{1/3}(L_2 - z)$, $L_2 = -E/(|e|W)$, E — энергия частицы.

Функция прохождения, изображенная на рис. 1, a , вычислялась, когда функция Эйри (кривая 1 на рис. 2) была получена аналитически (методом перевала [15],

должно выполняться условие $|\xi| \gg 1$)

$$\chi_1(\xi) = \begin{cases} \frac{-i}{2\sqrt{\pi}|\xi|^{1/4}} \exp\left[i\left(\frac{2}{3}|\xi|^{3/2} + \frac{\pi}{4}\right)\right], & \xi < 0, \\ \frac{-i}{2\sqrt{\pi}\xi^{1/4}} \exp\left(\frac{2}{3}\xi^{3/2}\right), & \xi > 0. \end{cases} \quad (3)$$

С учетом функции Эйри (3) получим выражение для функции прохождения в зависимости от энергии частицы и из условия неразрывности функции $\psi(z)$ и производной функции $\partial\psi/\partial z$ из (2) (условие неразрывности плотности тока $j = i\hbar(\psi\partial\psi^*/\partial z - \psi^*\partial\psi/\partial z)/(2m)$) в точках разрыва $z = 0$, $z = L_1$ (более подробно см. [14])

$$\begin{aligned} \tau &= \left| \frac{C}{A_1} \right|^2 \frac{1}{k_1} \left(|\chi|^2 \frac{d\eta}{dz} \right) \Big|_{z > L_2} \\ &= \frac{2\kappa k_2}{k^2 + k_2^2} \frac{2k_1 k_2}{k_1^2 + (k_2^2 - k_1^2) \sin^2(k_2 L_1 - \varphi_0)} D(y), \\ D &= \exp\left[-\frac{4\sqrt{2m|E|^3}}{3\hbar} \frac{1}{|e|W} \Theta(y) \right], \end{aligned}$$

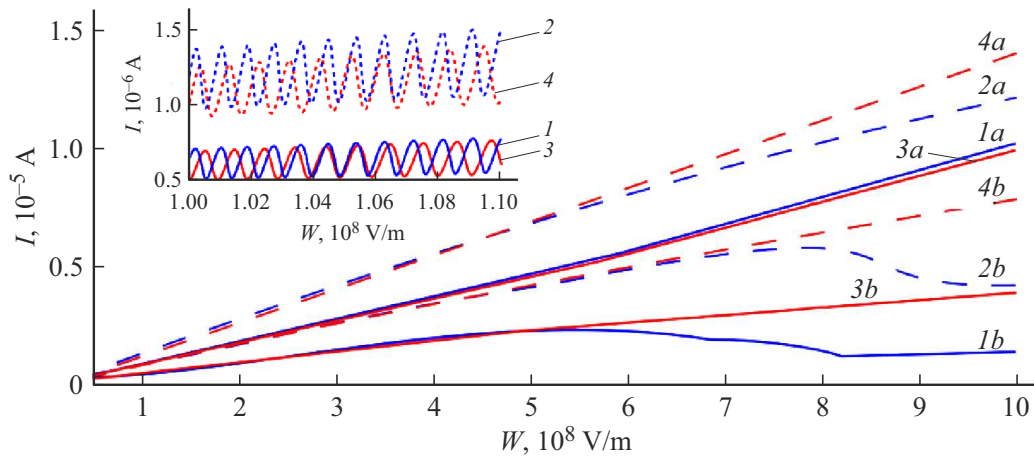


Рис. 3. Токи через УНТ при различных напряжениях U на концах нанотрубок.

$$\Theta(y) = (1 - y)^{3/2}, \quad y = \frac{L_1}{L_2},$$

$$\eta = \frac{2}{3} |\xi|^{2/3}, \quad \varphi_0 = \arctan(\kappa/k_2),$$

$$\kappa = \frac{\sqrt{2m|e|W(L_2 - L_1)}}{\hbar} \left| 1 - \frac{1}{4\xi^{3/2}|_{z=L_1}} \right|. \quad (4)$$

В работе [14] при выводе выражения для функции прохождения величина κ в отличие от (4) равнялась $\kappa = \sqrt{2m|e|W(L_2 - L_1)}/\hbar$, что приводило к тому, что в работе [14] коэффициент прохождения был больше единицы. Наличие слагаемого $1/4\xi^{3/2}|_{z=L_1}$ у величины κ из (4) объясняется тем, что в системе уравнений при вычислении величины $(\partial\chi/\partial z)|_{z=L_1}$ не учитывалось влияние предэкспоненциальной части у величины χ из (3). Величины k_1, k_2, ξ определены после выражения (2). В (4) величина C/A_1 вычисляется в соответствии с методом Крамера [15] для системы линейных уравнений из неизвестных B_1, A_2, B_2, C

$$A_1 + B_1 = A_2 + B_2,$$

$$A_1 k_1 - B_1 k_1 = A_2 k_2 - B_2 k_2,$$

$$A_2 e^{ik_2 L_1} + B_2 e^{-ik_2 L_1} = C \chi(L_1),$$

$$iA_2 k_2 e^{ik_2 L_1} - iB_2 k_2 e^{-ik_2 L_1} = C \left(\frac{\partial\chi}{\partial z} \right) \Big|_{z=L_1}, \quad (5)$$

где при выводе функции прохождения из равенства (4) учтено, что имеет место $|\chi|^2|_{z>L_2} = 4\pi|\xi|^{1/2}$.

Функция прохождения, изображенная на рис. 1, b , вычислялась, когда в качестве решения уравнения Шредингера $\partial^2\psi/\partial\xi^2 - \xi\psi = 0$ мы использовали линейную комбинацию функций Эйри первого $Ai(\xi)$ и второго $Bi(\xi)$ родов ([15], с. 116) (кривая 2 на рис. 2), полученных численно с помощью пакета программ MATLAB.

В работе ток при полевой эмиссии с острия наночастиц вычислялся по формуле Ландауэра [16,17]

(подробнее см. [14]) с использованием функции прохождения частицы от анода к катоду (рис. 1). На рис. 3 приведена зависимость огибающих тока I в уединенной УНТ от напряженности поля W при постоянном значении напряжения U на концах УНТ, где $5 \cdot 10^7 \leq W \leq 10^9$ V/m, $U = WL_1$, L_1 — длина нанотрубки. На рис. 3 сплошные кривые соответствуют случаю, когда функция прохождения аппроксимировалась асимптотическим решением (3), а штриховые кривые отвечают случаю, когда решению функции Эйри соответствует кривая 2 на рис. 1. На рис. 3 кривые $1a, 1b, 2a, 2b$ соответствуют напряжению $U = 3.5$ V на концах нанотрубок, а кривые $3a, 3b, 4a, 4b$ — напряжению $U = 3.0$ V. На вставке приведена аналогичная зависимость тока от напряженности поля в интервале $10^8 \leq W \leq 1.1 \cdot 10^8$ V/m, кривые $1-4$ соответствуют огибающим $(1a, 1b)-(4a, 4b)$. Область изменения напряженности поля $5 \cdot 10^7 \leq W \leq 10^9$ V/m означает, что при напряжении $U = 3.5$ V на концах нанотрубок их длина менялась в интервале $3.5 \leq L \leq 70$ nm, а при $U = 3.0$ V длина нанотрубок менялась в интервале $2.0 \leq L \leq 40$ nm.

Из рис. 3 видно, что токи, соответствующие штриховым кривым, больше токов, соответствующих сплошным кривым. Это объясняется тем, что в случае сплошных кривых при вычислении величины тока по формуле Ландауэра [16,17] интегрирование не ведется по ξ в интервале $|\xi| < 1$ (в этом интервале на рис. 2 кривая I функции Эйри $\chi(\xi)$ из (3) не определена), т.е. область интегрирования уменьшается.

В таблице приведена зависимость функции Нордгейма $\theta(y)$ [11] и функции $\Theta(y)$, где аргумент y для функции $\Theta(y)$ вычисляется в соответствии с формулой (4). Функция $\Theta(y)$, которая входит в выражение (4) для функции прозрачности D , выполняет роль, аналогичную функции Нордгейма $\theta(y)$, причем для $\Theta(y)$ аргумент функции $y = L_1/L_2 = |e|WL_1/|E|$ зависит как от энергии заряженной частицы, так и от

Зависимость от y функции Нордгейма $\theta(y)$ и функции $\Theta(y)$

Функция	y										
	0	0.1	0.2	0.3	0.4	0.5	0.6	0.7	0.8	0.9	1
$\theta(y)$	1	0.98	0.94	0.87	0.79	0.68	0.58	0.45	0.31	0.16	0
$\Theta(y)$	1	0.85	0.72	0.59	0.46	0.35	0.25	0.16	0.09	0.03	0

длины нанотрубок и напряженности поля. Из таблицы следует, что значение функции $\Theta(y)$ в интервале $0 < y < 1$ значительно меньше, чем у функции Нордгейма. Такая закономерность частично компенсирует малое значение аспектного числа рассматриваемых в работе нанотрубок. Зависимость функции прозрачности D от функции $\Theta(y)$ должна привести к значительному увеличению тока при полевой эмиссии по сравнению со случаем полевой эмиссии с поверхности металла при прочих одинаковых условиях. Результаты по полевой эмиссии могут быть получены, если воспользоваться более точной моделью двухточечной и четырехточечной элементарных ячеек (континуальная модель kp -типа [18–20], где для УНТ типа „зигзаг“ и нанолент с „кресельными“ краями волновые функции электрона могут быть выражены через функции Эрмита [18,19].

Из результатов расчетов следует, что в случае полевой эмиссии в нанотрубках с длиной в интервале от нескольких нанометров до ста нанометров существует линейная зависимость огибающих тока от напряженности поля W в интервале $0.5 \cdot 10^8 \leq W \leq 0.5 \cdot 10^9$ V/m, что соответствует функциональной зависимости $I = AW[1 + f(W)]$, где $W = U_1/L_1$. Линейная зависимость существует также в случае зависимости тока от напряженности поля в координатах Фаулера–Нордгейма и в случае зависимости I/W^2 от величины $1/W$ в интервале $10^{-9} \leq 1/W \leq 10^{-8}$ m/V, где в расчетах для величины напряжения на концах УНТ выполнялось $U_1 = \text{const}$. Такая закономерность объясняется тем, что длина УНТ $L_1 < 1 \mu\text{m}$, когда при электронном транспорте в наноматериалах не выполняется баллистический механизм.

Финансирование работы

Авторы благодарят Национальный исследовательский ядерный университет „МИФИ“ за поддержку, оказанную в рамках Программы повышения конкурентоспособности „Проект 5-100“ (договор № 02.a03.21.0005.27.08.2013).

Конфликт интересов

Авторы заявляют, что у них нет конфликта интересов.

Список литературы

- [1] A.Yu. Kitaev, Phys. Usp., **44**, 131 (2001). DOI: 10.1070/1063-7869/44/10S/S29
- [2] S. Hino, Y. Okada, K. Iwasaki, M. Kijima, H. Shirakawa, Chem. Phys. Lett., **372**, 59 (2003). DOI: 10.1016/S0009-2614(03)00360-9
- [3] P.N. D'yachkov, V.A. Zaluev, E.Yu. Kocherga, N.R. Sadykov, J. Phys. Chem. C, **117**, 16306 (2013). DOI: 10.1021/jp4038864
- [4] S. Eisler, A.D. Slepko, E. Elliott, T. Luu, R. McDonald, F. Hegmann, R. Tykwinski, J. Am. Chem. Soc., **127**, 2666 (2005). DOI: 10.1021/ja044526l
- [5] R. Saito, G. Dresselhaus, M.S. Dresselhaus, *Physical properties of carbon nanotubes* (Imperial College Press, London, 1998).
- [6] C.T. White, J. Li, D. Gunlycke, J.W. Mintmire, Nano Lett., **7**, 825 (2007). DOI: 10.1021/nl0627745
- [7] K. Wakabayashi, K.-I. Sasaki, T. Nakanishi, T. Enoki, Sci. Technol. Adv. Mater., **11**, 18 (2010). DOI: 10.1088/1468-6996/11/5/054504
- [8] A.B. Елецкий, УФН, **180** (9), 897 (2010). DOI: 10.3367/UFNr.0180.201009a.0897 [A.V. Eletsckii, Phys. Usp., **53**, 863 (2010). DOI: 10.3367/UFNe.0180.201009a.0897].
- [9] A. Vul'p, K. Reich, E. Eidelman, M.L. Terranova, A. Ciorba, S. Orlanducci, V. Sessa, M. Rossi, Adv. Sci. Lett., **3**, 110 (2010). DOI: 10.1166/asl.2010.1104
- [10] K.B.K. Teo, E. Minoux, L. Hudanski, F. Peauger, J.-P. Schnell, L. Gangloff, P. Legagneux, D. Dieumegard, G.A.J. Amaratunga, W.I. Milne, Nature, **437**, 968 (2005). DOI: 10.1038/437968a
- [11] R.H. Fowler, L. Nordheim, Proc. R. Soc. Lond. A, **119**, 173 (1928). DOI: 10.1098/rspa.1928.0091
- [12] T.E. Stern, B.S. Gossling, R.H. Fowler, Proc. R. Soc. Lond. A, **124**, 699 (1929). DOI: 10.1098/rspa.1929.0147
- [13] R.G. Forbes, J.H.B. Deane, A. Fischer, M.S. Mousa, Jordan J. Phys., **8**, 125 (2015).
- [14] Н.Р. Садыхов, С.Е. Жолниров, И.А. Пилипенко, ЖТФ, **91** (7), 1081 (2021). DOI: 10.21883/JTF.2021.07.50948.350-20 [N.R. Sadykov, S.E. Zholnirov, I.A. Pilipenko, Tech. Phys., **66**, 1032 (2021). DOI: 10.1134/S1063784221070148].
- [15] A.F. Nikiforov, V.B. Uvarov, *Special functions of mathematical physics* (Birkhauser, Basel, 1988).
- [16] R. Landauer, Phil. Mag., **21**, 863 (1972). DOI: 10.1080/14786437008238472
- [17] M. Buttiker, Phys. Rev. B, **46**, 12485 (1992). DOI: 10.1103/PhysRevB.46.12485

- [18] Н.Р. Садыков, Теоретическая и математическая физика, **180** (3), 368 (2014). DOI: 10.4213 /tmf8642 [N.R. Sadykov, Theor. Math. Phys., **180**, 1073 (2014). DOI: 10.1007/s11232-014-0200-z].
- [19] Н.Р. Садыков, Н.А. Скоркин, ЖТФ, **83** (5), 1 (2013). [N.R. Sadykov, N.A. Skorkin, Tech. Phys., **58**, 625 (2013). DOI: 10.1134/S1063784213050186].
- [20] N.R. Sadykov, E.T. Muratov, I.A. Pilipenko, A.V. Aporoski, Physica E, **120**, 114071 (2020). DOI: 10.1016/j.physe.2020.114071